

مقایسه نیتریفیکاسیون جزئی و کامل در سیستم SBR با هدف استفاده در فرایندهای جریان جانبی

گیتی امتیازی^۱

بیتا آیتی^۲

حسین گنجیدوست^۳

علی دهنوی^۴

(دریافت ۸۹/۳/۸ پذیرش ۸۹/۱۱/۲۱)

چکیده

یکی از روش‌های نوین مورد توجه محققان، استفاده از روش‌های کم هزینه بیولوژیکی حذف آمونیاک تحت عنوان نیتریفیکاسیون جزئی است. در این تحقیق که هدف از انجام آن مقایسه دو فرایند نیتریفیکاسیون کامل و جزئی بهمنظور به کارگیری در فرایندهای جریان جانبی بود، میزان حذف آمونیاک در فاضلابهای با غلظت بالای آمونیاک تحت سیکل‌های مختلف در سیستم SBR در مقیاس پایلوت بود بررسی قرار گرفت. غلظت آمونیاک در فاضلاب سنتزی حدود ۹۰۰ میلی گرم در لیتر و حجم ثابت راکتور ۳ لیتر و حجم قابل تعویض آن برای ایجاد زمان ماند مناسب تا ۶ لیتر متغیر بود که بر این اساس زمان ماندهای مختلف به کار رفت. بر اساس نتایج حاصل از اندازه‌گیری آمونیاک، نیتریت و نیترات با دستگاه اسپکتروفوتومتر، مشخص گردید که با کنترل دما، pH، اکسیژن محلول و زیرسیکل‌های بیشتر می‌توان به نیتریفیکاسیون جزئی دست یافت. بر اساس محاسبات انجام شده مشخص گردید که نرخ ویژه اکسیداسیون آمونیاک در نیتریفیکاسیون کامل در حدود ۱۳ تا ۱۶ درصد بیشتر است و این در حالی است که در این حالت، درصد تجمع نیتریت از حدود ۹۱ به ۵۰ درصد در سه زیرسیکل و از حدود ۸۱ به ۳۰ درصد در یک زیرسیکل در قیاس با نوع جزئی کاهش یافته است. علاوه بر این، افزایش تعداد زیرسیکل‌های فرعی از یک به سه تأثیر قابل ملاحظه‌ای در افزایش نرخ ویژه اکسیداسیون آمونیاک از ۲۹ تا ۳۲ درصد به ترتیب در نیتریفیکاسیون جزئی و کامل داشت. این موضوع نشان داد که استفاده از روش مذکور می‌تواند علاوه بر حذف آمونیاک با غلظت بالا در فرایندهای جریان جانبی، باعث اکسیداسیون کمتر نیتریت در نیتریفیکاسیون جزئی نسبت به نوع کامل شود.

واژه‌های کلیدی: نیتریفیکاسیون، فرایند جریان جانبی، راکتورهای پیوسته متوالی

Comparison of Partial and Complete Nitrification in SBR System for Use in Side Stream Processes

Ali Dehnoei¹

Hossein Ganjidoust²

Bita Ayati³

Giti Emtiazi⁴

(Received May 28, 2010 Accepted Feb. 9, 2011)

Abstract

Use of low-cost biological methods for ammonia removal as partial nitrification has been attracted by many environmental engineering researchers in recent years. In this study the removal of ammonia in high concentration sewage based on both complete and partial nitrification with the different sub-cycles has been investigated in pilot-scale and the results were compared. Ammonia concentration in synthetic wastewater was about 900 mg-N/L and fixed and variable volume of reactor was 3 and 6 liter respectively to create a suitable hydraulic retention time of 1.05-1.55 days in the different cases. The results of ammonia, nitrite and nitrate measurements by spectrophotometer have shown that it is possible to achieve partial nitrification by controlling temperature, pH, and dissolved oxygen and having more sub-cycles. Ammonia specific oxidation rate was about

- Ph.D. Student of Civil and Env. Eng., Tarbiat Modares University, Tehran
- Prof. of Civil and Env. Eng., Tarbiat Modares University, Tehran (Corresponding Author) (+98 21) 82883332 h-ganji@modares.ac.ir
- Assoc. Prof. of Civil and Env. Eng., Tarbiat Modares University, Tehran
- Prof. of Microbiology, Faculty of Public Health, Isfahan University, Isfahan

- دانشجوی دکترای مهندسی عمران-محیط زیست، دانشگاه تربیت مدرس، تهران
- استاد دانشکده مهندسی عمران و محیط زیست، دانشگاه تربیت مدرس، تهران (نویسنده مسئول) (۰۲۱) ۸۲۸۸۳۳۲۲ h-ganji@modares.ac.ir
- دانشیار دانشکده مهندسی عمران و محیط زیست، دانشگاه تربیت مدرس، تهران
- استاد بخش میکروبیولوژی، دانشکده بهداشت، دانشگاه اصفهان

13 to 16 percent more in complete nitrification compared to partial nitrification and in this condition the percent of nitrite accumulation was reduced from 91 to 51 in 3 sub-cycles and from 81 to 30 in 1 sub-cycle. Furthermore, increase of sub-cycles number from 1 to 3 had significant effect on increasing ammonia specific oxidation rate from 29 to 32 percent in partial and full nitrification, respectively. Results of this study showed that this method will be used for high ammonia removal in side stream process in addition to low nitrite oxidation rate in partial nitrification as compared to complete nitrification

Keywords: Nitrification, Side Stream Process, Sequencing Batch Reactor.

گروه دوم نیتروباکتر^۵ است [۵ و ۷].

با توجه به روابط حاکم بر مرحله اول و دوم نیتریفیکاسیون مشخص می‌گردد که نیتریفیکاسیون کامل، مستلزم ایجاد احجام بزرگ در هوادهی برای ایجاد یک سن لجن مناسب، تأمین اکسیژن و نیز تأمین قلایت کافی است که همگی مستلزم هزینه زیاد هستند[۸]. از این رو، مبنای تحقیقات وسیع اخیر در خصوص روشاهای نوین بیولوژیکی حذف و تبدیل شکلهای متفاوت نیتروژن از فاضلابهای مختلف از جمله فاضلابهای حاوی غلظت بالای آمونیاک مانند مایع جداسازی شده از هاضمهای بی‌هوایی^۶ و نیز آبگیری لجن در تصفیه خانه‌های فاضلاب شهری، مسائل اقتصادی و کاهش هزینه‌های تصفیه بوده است [۹].

رووشاهای بیولوژیکی حذف و تبدیل شکلهای مختلف نیتروژن را مانند سایر روشها به دو بخش مرسم و نوین تقسیم می‌کنند که می‌توان در بخش مرسم به نیتریفیکاسیون کامل و دیتریفیکاسیون از نیترات و در بخش نوین به فرایندهای نیتریفیکاسیون جزئی^۷ از جمله روشاهای آناموکس^۸، کنن^۹، اوالند^{۱۰}، شارون^{۱۱} و نیز فرایندهای جریان جانبی کامل^{۱۲} اشاره کرد [۱۰ و ۱۱].

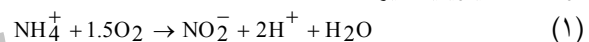
فرایندهای جریان جانبی فرایندهایی هستند که اساس کار آنها بر تولید نیتریفایراها تحت شرایط مناسب و افزودن آنها به فرایند اصلی لجن فعال و بهمنظور جایگزینی آنها با نیتریفایهایی است که بالجن از سیستم خارج شده‌اند. برای این منظور از یک تانک جداگانه کوچک در کار تانک هوادهی استفاده می‌شود که در آن نیتریفایها تحت شرایط مناسب از جمله مهیا نمودن آمونیاک از مایع خروجی هاضمهای لجن، مایع حاصل از آبگیری لجن و یا به طرق دیگر از جمله افزودن دستی، به مقدار زیادی رشد داده شده و سپس به تانک اصلی لجن فعال و یا تانک نیتریفیکاسیون مجرماً افزوده می‌شوند. بررسی‌های انجام شده نشان داده است که این عمل

۱- مقدمه

آمونیاک موجود در فاضلابهای مختلف را می‌توان به روشاهای کلی فیزیکی، شیمیایی و بیولوژیکی تبدیل و یا حذف نمود، اما به طور قطع مهم ترین آنها، استفاده از روشاهای بیولوژیکی است [۱-۳]. دلیل برتری روشاهای بیولوژیکی در حذف و تبدیل شکلهای مختلف نیتروژن، اثربخشی و ارزانی این روشها است [۴].

تبدیل بیولوژیکی آمونیاک (نیتریفیکاسیون) در دو مرحله شامل نیتریت‌زایی و نیترات‌زایی صورت می‌گیرد که در روابط ۱ و ۲ نشان داده شده‌اند. علاوه بر این، لازم است محصولات نهایی نیتریفیکاسیون طی فرایند نیتریفیکاسیون (نیترات و نیتریت زدایی) به گاز نیتروژن تبدیل شوند که در روابط ۳ و ۴ با فرض استفاده از استات به عنوان منبع کربن خارجی، نشان داده شده‌اند [۱، ۵ و ۶].

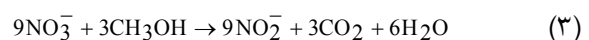
مرحله اول نیتریفیکاسیون



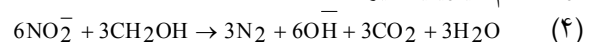
مرحله دوم نیتریفیکاسیون



مرحله اول دیتریفیکاسیون



مرحله دوم دیتریفیکاسیون



که در این روابط NH_4^+ مقدار آمونیاک، NO_2^- مقدار نیتریت تولیدی و NO_3^- مقدار نیترات تولیدی است.

مرحله اول و دوم نیتریفیکاسیون به ترتیب توسط گروهی از باکتری‌ها به نام اکسایندگان آمونیاک^۱ و اکسایندگان نیتریت^۲ صورت می‌گیرد. پنج جنس از باکتری اکساینده آمونیاک و چهار جنس از باکتری اکساینده نیتریت در سال ۱۹۸۹ توسط پروسه^۳ شناسایی شدند که مهم ترین جنس گروه اول نیتروزومانوس^۴ و برای

⁵ Nitrobacter

⁶ Supernatant from Anaerobic Sludge Digesters

⁷ Short-Cut Nitrification or Partial Nitrification

⁸ Anaerobic Ammonium Oxidation (Anammox)

⁹ Completely Autotrophic Nitrogen Removal Over Nitrite (Canon)

¹⁰ Oxygen-Limited Autotrophic Nitrification-Denitrification (Oland)

¹¹ Single Reactor System for High Ammonia Removal Over Nitrite (SHARON)

¹² Side Stream Nitrification Process

¹ Ammonia Oxidizing Bacteria (AOB)

² Nitrite Oxidizing Bacteria (NOB)

³ Prosser

⁴ Nitrosomonas

۰/۱ تا ۱/۵ و ترجیحاً در حدود ۱ میلی‌گرم در لیتر پیشنهاد شده است و این در حالی است که در نیتریفیکاسیون کامل، این غلظت بیش از ۲ میلی‌گرم در لیتر پیشنهاد شده است [۱۹، ۲۰]. علاوه بر این دو فاکتور مهم، pH نیز از دو جنبه‌ی اثر مستقیم بر روحی اکسایندگان آمونیاک و نیتریت و نیز تأثیر بر روند تولید نیتروز اسید آزاد و آمونیاک غیریونی به عنوان عوامل بینایی‌منی مؤثر بر فرایند، نقش اساسی در فرایند نیتریفیکاسیون جزئی بازی می‌کند [۱۸، ۲۱]. بهینه برای باکتری‌های اکسایندگان آمونیاک و pH نیتریت به ترتیب در دامنه ۷/۹ تا ۸/۲ و ۷/۶ تا ۷/۲ در ادامه از دامنه ۷ تا ۸ برای نیتریفیکاسیون کامل و از دامنه ۷/۵ تا ۸/۵ برای نیتریفیکاسیون جزئی استفاده می‌شود [۱۸ و ۲۲]. بر اساس تحقیقات آتونیزن^۱ در خصوص تعیین شرایط مرزی pH که مبنای بسیاری از مطالعات بعدی واقع شده، در صورتی که pH به نحوی تنظیم گردد که غلظت آمونیاک آزاد بیش از ۱/۰ تا ۱ میلی‌گرم در لیتر باشد، اکسایندگان نیتریت بازداشت شده و نیتریت تجمع می‌یابد. بر اساس این یافته‌ها مشخص گردید که غلظتهاي بین ۱۰ تا ۱۵۰ میلی‌گرم در لیتر آمونیاک غیر یونی ممکن است باعث بازدارندگی فعالیت اکسایندگان آمونیاک نیز بشود و قطعاً غلظتهاي بیش از ۱۵۰ میلی‌گرم در لیتر باعث عدم فعالیت آنها خواهد شد [۱۸ و ۱۹]. براین اساس، pH باید به نحوی تنظیم گردد تا بر اساس آن و با لحاظ نمودن سایر عوامل مؤثر در غلظت آمونیاک غیر یونی، از جمله دما و غلظت آمونیاک، حداقل ۱/۰ تا ۱ و ترجیحاً بیش از ۱ میلی‌گرم در لیتر آمونیاک غیر یونی برای بازدارندگی فعالیت اکسایندگان نیتریت در محیط وجود داشته باشد تا از تجمع نیتریت با رعایت سایر عوامل اطمینان حاصل گردد [۱۶، ۱۷ و ۱۸].

در تحقیق حاضر که به بررسی و مقایسه فرایندهای نیتریفیکاسیون جزئی و کامل تحت شرایط بهینه در یک فرایند جریان جانبی اختصاص داشت، از یک سیستم SBR برای حذف آمونیاک با غلظت بالا تحت چهار الگوی مختلف شامل نیتریفیکاسیون کامل و جزئی در یک و سه زیر سیکل استفاده شد. لذا هدف اصلی تحقیق، مقایسه دو فرایند مورد نظر تحت الگوهای مختلف به منظور بررسی چگونگی حذف آمونیاک، اکسیداسیون نیتریت و تجمع نیتریت بود.

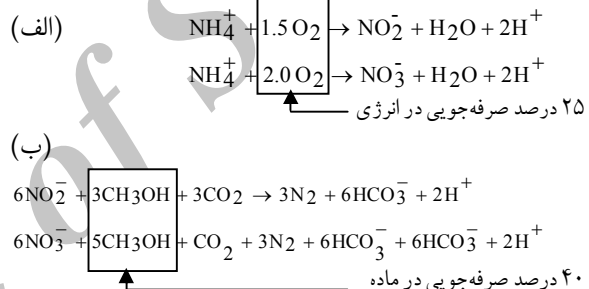
۲- مواد و روشهای

۲-۱- پایلوت مورد استفاده

پایلوت مورد استفاده در این تحقیق که در شکل ۲ مقطعی از آن

مزایای زیادی از جمله انجام نیتریفیکاسیون در فرایند اصلی در دماهای کم و سن‌های پایین لجن، حذف آمونیاک با غلظت بالا در فرایند جریان جانبی و جلوگیری از ورود بار آمونیاک به ابتدای تصفیه‌خانه و نیز کاهش حجم تانک هواده را به دنبال خواهد داشت [۱۴-۱۲].

نیتریفیکاسیون جزئی از دیگر فرایندهای نوینی است که برای تبدیل بیولوژیکی آمونیاک در غلظتهاي زیاد استفاده می‌شود. در صورتی که بتوان با روش‌هایی از اکسیداسیون نیتریت در مرحله دوم نیتریفیکاسیون مرسوم (نیترات زایی) جلوگیری نمود، به این فرایند اصطلاحاً نیتریفیکاسیون جزئی گفته می‌شود که مزایای زیادی از جمله کاهش نیاز به اکسیژن به مقدار ۲۵ درصد، کاهش نیاز به منبع کربن خارجی در فرایند نیتریفیکاسیون تا ۴۰ درصد و نیز افزایش نرخ نیتریفیکاسیون از نیتریت حدود ۱/۵ تا ۲ برابر نسبت به نیتریت دارد. در شکل ۱ این مزایا به خوبی نشان داده شده است [۱۷-۱۵].



شکل ۱- مقایسه نیتریفیکاسیون و دنیتریفیکاسیون کامل و جزئی
(الف- نیتریفیکاسیون و ب- دنیتریفیکاسیون)

برای انجام موقیت‌آمیز این فرایند، لازم است فعالیت اکسایندگان نیتریت در مرحله دوم نیتریفیکاسیون مرسوم متوقف گردد. به این منظور از کنترل فاکتورهای مختلفی از جمله اکسیژن محلول، دما، pH، بازدارندگاهای وغیره استفاده می‌شود [۱۵ و ۱۸]. بر اساس تحقیقات مختلف صورت گرفته مشخص شده که حداقل دما برای انجام نیتریفیکاسیون جزئی باید بیش از ۲۵ درجه سلسیوس و دمای بهینه در محدوده ۳۰ تا ۳۵ درجه سلسیوس باشد [۱۶، ۸ و ۱۵]. همچنین مشخص شده که اکسیژن محلول نیز یکی از عوامل مؤثر بر فرایند است به طوری که اکسایندگان آمونیاک نسبت به اکسایندگان نیتریت بسیار به شرایط کمبود اکسیژن محلول مقاوم تر هستند و کاهش اکسیژن محلول علاوه بر اینکه تأثیر قابل توجهی بر اکسایندگان آمونیاک ندارد، باعث محدودیت زیادی در فعالیت اکسایندگان نیتریت خواهد شد [۱۵، ۱۱ و ۱۶]. به همین منظور در این فرایندها، حد بهینه غلظت اکسیژن محلول در محدوده

^۱ Anthonisen

استفاده در فرایند کنارگذر در جدول ۱ ارائه شده است. قابل ذکر اینکه BOD_5 فاضلابهای مورد نظر در قیاس با COD بسیار ناچیز بوده و به همین دلیل استفاده از منبع کربن خارجی برای دنیتریفیکاسیون الزامی است که در این تحقیق از متانول به عنوان منبع کربن استفاده شد [۱۹].

۲-۳- غنی سازی ارگانیسمها

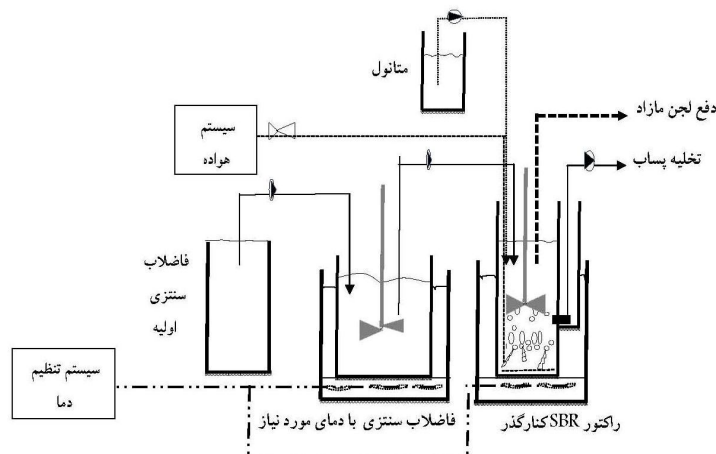
غنی سازی نیتریفایها با استفاده از لجن تصفیه خانه فاضلاب شهری و در مدت ۵ تا ۶ هفته انجام شد. برای بررسی عملکرد غنی سازی از شاخص نرخ ویژه اکسیداسیون آمونیاک استفاده گردید. به این منظور مقداری از لجن ثانویه به راکتور وارد و غلظت بیومس با وارد کردن محلول آمونیاک به حدود ۱۰۰۰ میلی گرم در لیتر رسانده شد. غلظت آمونیاک و اکسیژن محلول به ترتیب حدود ۱۵۰ و بیشتر از ۳ میلی گرم در لیتر نگهداشت شد و غنی سازی در سیکل های ۱۲ ساعته با زمان ماند هیدرولیکی ۷۵/۰ روز انجام پذیرفت. در پایان غنی سازی که بدون دفع لجن انجام گردید غلظت بیومس تا حدود ۴۰۰ میلی گرم در لیتر کاهش یافت. پس از انجام موفق غنی سازی نیتریفایها و به منظور همزمانی نیتریفیکاسیون و دنیتریفیکاسیون، نیتریفایهای غنی شده بالجن تصفیه خانه فاضلاب شهری که حاوی تعداد زیادی دنیتریفای است، مخلوط و برای مراحل بعدی استفاده شد. غلظت بیومس مخلوط در ابتدا در حدود ۳۵۰۰ میلی گرم در لیتر بود که در نهایت و در شرایط پایدار و تحت الگوهای مختلف شامل نیتریفیکاسیون کامل و مختصر در زیرسیکل های متفاوت و با توجه به زمان ماند سلولی، MLVSS و MLSS نهایی موجود در راکتور به ترتیب در محدوده 3000 ± 200 و 3500 ± 250 میلی گرم در لیتر قرار گرفت.

نشان داده شده شامل سیستم SBR و نیز محفظه های مکعبی برای تنظیم دما بود. برای تنظیم دقیق دما به عنوان یکی از مهم ترین عوامل مؤثر بر فرایند، از محفظه های مکعبی با گنجایش تا ۷۵ لیتر آب، المتن و سنسور تنظیم دما استفاده شد که راکتور مورد نظر در داخل آن قرار گرفته بود. حجم ثابت سیستم SBR استفاده شده برای نیتریفیکاسیون کامل و جزئی در فرایند جریان جانبی معادل ۳ لیتر و حجم متغیر آن بسته به زمان ماند هیدرولیکی مورد نیاز می توانست متغیر باشد. در هر حال حجم کل راکتور بالغ بر ۹ لیتر بود. ورود و خروج فاضلاب به راکتور جریان جانبی و اضافه کردن ماده آلی خارجی، به صورت اتوماتیک و در طی سه سیکل در شبانه روز و زیر سیکل های مختلف انجام شد. هر سیکل شامل ۵ ساعت هوازی، ۲/۵ ساعت بی اکسیژن و ۵/۰ ساعت تهشیینی و تخلیه بود و پر کردن که کمتر از ۵ دقیقه طول می کشید، در ابتدای هر سیکل و همزمان با هواهدی انجام می شد. مدت زمان تخلیه در تمام حالات کمتر از ۲ دقیقه و مدت زمان بهره برداری از این پایلوت تحت حالتهای متنوع بالغ بر شش ماه بود.

۲-۴- نوع فاضلاب

فاضلاب مورد استفاده در این تحقیق از نوع سنتری با پایه فاضلاب خروجی تصفیه خانه شهری و مشابه با مایع خروجی از هاضم های بی هوازی لجن تصفیه خانه های فاضلاب شهری بود. با توجه به وجود مواد مغذی و ریزمغذی مختلف در فاضلاب مورد نظر، نیازی به اضافه کردن آنها نبود و فقط مقدار آمونیاک، سفر و COD با توجه به مشخصات مایع خروجی از هاضم های بی هوازی لجن تصفیه خانه های فاضلاب شهری به صورت دستی به فاضلاب تصفیه خانه اضافه گردید [۸ و ۱۹]. ترکیب فاضلاب نهایی مورد

1 Supernatant from Anaerobic Digestion of Sewage Sludge



شکل ۲- مقطع راکتور مورد استفاده برای نیتریفیکاسیون جزئی و کامل

جدول ۱- ترکیب نهایی فاضلاب سنتزی با پایه فاضلاب تصفیه خانه فاضلاب شهری

مقدار	ماده مصرفی	شاخص
۸۰۰-۹۰۰	NH ₄ Cl	NH ₄ ⁺ -N (mg/L)
۲۰	KH ₂ PO ₄	TP (mg/L)
۱۵۰۰-۲۰۰۰	پودر گوشت	COD (mg/L)
۸/۲-۸/۵	NaOH	pH
۱-۱/۱	NaHCO ₃	Alk. (mol/mol)
۳۰±۱	-	T(°C)

جدول ۲- مقادیر بهینه پیشنهادی برای پارامترها و متغیرهای در نظر گرفته شده در نیتریفیکاسیون جزئی و کامل

مقدار	پارامترها- متغیرها
در نیتریفیکاسیون کامل	در نیتریفیکاسیون جزئی
تعیین می شود	NH ₄ ⁺ -N (میلی گرم در لیتر)
تعیین می شود	HRT (روز)
۷/۵-۸/۵	pH
در محدوده ۱/۳-۰/۸	DO (میلی گرم در لیتر)
۳۰-۳۵	T (درجه سلسیوس)
۹±۱	SRT (روز)
۳	تعداد سیکل در شبانه روز (عدد)
۳ او	تعداد زیرسیکل (عدد)
۲ حداقل	نسبت زیر سیکل های هوایی به بی اکسیژن

ارائه شده در کتاب روشاهی استاندارد تصفیه آب و فاضلاب و همچنین آمونیاک با استفاده از معرف نسلر^۲ و در طول موج ۴۱۰ نانومتر و در تطابق با منحنی استاندارد آمونیاک، اندازه گیری شد [۲۲]. نیتریت و نیترات بر اساس دستورالعمل شرکت هچ^۳ و با استفاده از دستگاه اسپکتروفوتومتر مدل DR4000 اندازه گیری شدند [۲۴]. DO توسط دستگاه Oxi 340i-WTW pH توسط دستگاه pH/mv meter pHs-25cw microprocessor مورد سنجش قرار گرفت. همچنین برای بررسی های میکروبولوژی، از شاخص MPN و تغییر رنگ محیط کشت از صورتی به بی رنگ برای اکسایندگان آمونیاک استفاده شد [۲۵ و ۲۶].

پس از اندازه گیری آمونیاک، نیتریت و نیترات، شاخصهای نرخ ویژه اکسیداسیون آمونیاک، نرخ ویژه اکسیداسیون نیتریت، نسبت نیتریت به کل نیتریت و نیترات تولیدی به عنوان شاخصی برای بررسی تجمع نیتریت و نیز غلظت آمونیاک غیریونی بر اساس روابط ۵ تا ۸ محاسبه و مورد استفاده قرار گرفتند [۱۹، ۲۷ و ۲۸].

$$SAOR = \frac{NH_4^+ \text{Oxidize as N}}{MLVSS \times \theta_{ar}} \times 1000 \quad (5)$$

² Nessler's Reaction
³ HACH

۴-۴- پارامترها و متغیرهای تحقیق

در این تحقیق متغیرهای در نظر گرفته شده شامل اکسیژن محلول، HRT و تعداد زیرسیکل های فرعی هوایی- بی اکسیژن بودند که با توجه به حدود بهینه آنها بر اساس تحقیقات اشاره شده در بخش مقدمه مورد استفاده قرار گرفتند. در جدول ۲ پارامترها و متغیرهای مختلف و حدود بهینه آنها برای نیتریفیکاسیون کامل و جزئی ارائه و به منظور ایجاد شرایط یکسان برای بررسی مقایسه ای نیتریفیکاسیون جزئی و کامل، به جز DO سایر عوامل در یک محدوده یکسان در نظر گرفته شدند. تنظیم اکسیژن محلول در برای کامل) به صورت دستی و با شیر کنترلی که به همین منظور تعیینه شده بود انجام پذیرفت و سیستم هوادهی، پمپ های آکواریوم هایلیا^۱ مدل ACO-320 بود. قابل ذکر اینکه کنترل اکسیژن محلول به صورت دستی، پس از شرایط پایدار در محدوده های مورد نظر بر راحتی امکان پذیر بود.

۵- روشاهی آنالیز و محاسبات
در این تحقیق، شاخصهای MLSS و MLVSS بر اساس روشاهی

¹ Hailea

نیتریفیکاسیون کامل که حداقل ۲ میلی‌گرم در لیتر، گزارش شد، عملکرد راکتور مورد نظر در سیکل‌های ۸ ساعته و با دو الگوی متفاوت شامل سه زیرسیکل و یک زیرسیکل فرعی هوایی-بی‌اکسیژن برای انجام همزمان نیتریفیکاسیون و دنیتریفیکاسیون و به منظور مقایسه با نیتریفیکاسیون جزئی، مورد بررسی قرار گرفت [۹]. تعداد آزمایش‌های انجام شده پس از شرایط پایدار که کمتر از ۳ هفته به طول انجامید برای هر یک از شاخصهای آمونیاک، نیتریت و نیترات و به ترتیب سه و یک زیرسیکل بالغ بر ۴۸ و ۲۷ مورد با احتساب سه بار تکرار بود.

۳- نتایج و بحث

۳-۱- نیتریفیکاسیون جزئی

نتایج این حالت برای سه زیرسیکل فرعی و برای تغییرات DO و pH در شکل ۳ و برای تغییرات آمونیاک، نیتریت و نیترات در شکل ۴ ارائه شده است. در این حالت و به منظور تعیین زمان ماند هیدرولیکی مورد نیاز برای حذف کامل آمونیاک در یک سیکل، در سعی اولیه از زمان ماند ۱/۵ روز با توجه به زمان ماندهای مورد استفاده برای تصفیه چنین فاضلابهایی که در محدوده ۱ تا ۲ روز بود استفاده گردید و در نهایت با توجه به محاسبه نرخهای اکسیداسیون آمونیاک، زمان ماند بهینه تعیین و بر اساس آن تغییرات آمونیاک، نیترات و نیتریت مورد بررسی قرار گرفت. زمان ماند مورد نظر برای این حالت معادل ۱/۲ روز تعیین و استفاده شد. همچنین نتایج حالت یک زیرسیکل برای تغییرات DO و pH در شکل ۵ و برای تغییرات آمونیاک، نیتریت و نیترات در شکل ۶ ارائه شده است. زمان ماند هیدرولیکی بهینه برای این حالت نیز با توجه به کاهش نرخ اکسیداسیون آمونیاک معادل ۱/۵۵ روز تعیین گردید. به منظور مقایسه نرخها در شرایط مختلف، نتایج محاسبه شده برای هر حالت در جدول ۳ ارائه گردیده است.

پس از انجام موفق نیتریفیکاسیون جزئی برای تبدیل آمونیاک به نیتریت در سه و یک زیرسیکل فرعی مشخص شد که با کنترل عوامل مهم تأثیرگذار بر فرایند شامل دما، اکسیژن محلول و pH، می‌توان از تبدیل بخش قابل توجهی از نیتریت به نیترات جلوگیری نمود. در این حالت با توجه به حدود بهینه ارائه شده در تحقیقات مختلف قبلی، متوسط نرخ اکسیداسیون آمونیاک برای سه زیرسیکل فرعی بر حسب mg/gvs معادل ۱۶/۲۴ بوده است که در مقایسه با مقدار ارائه شده توسط دوستا و همکاران در حدود ۱۵ درصد کمتر است که دلیل آن با توجه به شرایط تقریباً یکسان، می‌تواند به نوع ماده آنی مورد استفاده در فاضلاب سنتزی (پودر گوشت) در این تحقیق و فاضلاب خروجی از هاضمهای بی‌هوایی در تحقیق دوستا و همکاران باشد [۱۹]. بینا و همکاران با بررسی تأثیر میزان

$$SNOR = \frac{NO_3^- \text{ produce as N}}{MLVSS \times \theta_{ar}} \times 1000 \quad (6)$$

$$NO_2^- (\%) = \frac{NO_2^- \text{ produce as N}}{(NO_2^- + NO_3^-) \times \text{as N}} \times 100 \quad (7)$$

$$C_{NH3} = \frac{C_1}{1 + \frac{10^{-pH}}{K_e}}, K_e^{NH} = e\left(\frac{-6344}{T + 273}\right) \quad (8)$$

که در این روابط

SAOR نرخ ویژه اکسیداسیون، SNOR نرخ ویژه اکسیداسیون نیتریت، C_{NH3} غلظت آمونیاک غیر یونی (آزاد) و θ_{ar} مدت زمان هواهدی در یک سیکل است.

در پایان و پس از محاسبه شاخصهای مورد نظر، از آنالیز آماری با برنامه SPSS استفاده شد. در مواردی که تعداد نتایج کمتر از ۳۰ مورد بود از روش‌های ناپارامتری و آزمون من ویتنی^۱ برای تعیین P-Value مورد استفاده قرار گرفت.

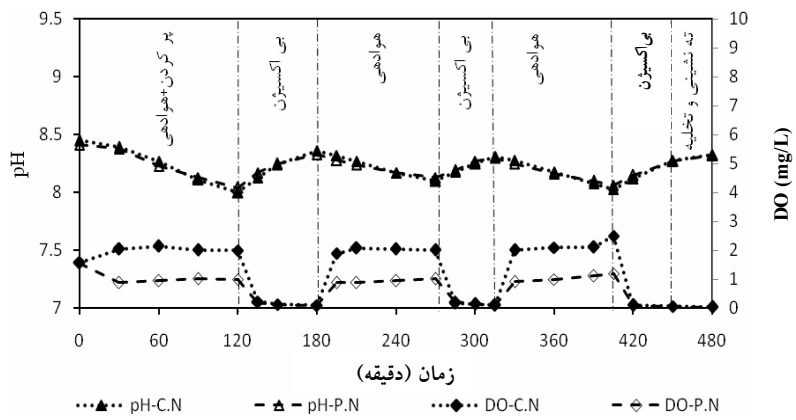
۶-۲- بهره‌برداری از پایلوت

پس از غنی‌سازی موفق نیتریفای‌ها و اختلاط آنها با دنیتریفای‌های موجود در لجن تصفیه‌خانه فاضلاب شهری و اضافه نمودن آنها به سیستم SBR و ایجاد شرایط بهینه برای انجام نیتریفیکاسیون جزئی شامل دما، اکسیژن محلول و pH، عملکرد راکتور مورد نظر در سیکل‌های ۸ ساعته و سه زیرسیکل فرعی هوایی-بی‌اکسیژن برای انجام همزمان نیتریفیکاسیون و دنیتریفیکاسیون بر اساس حدود بهینه تحقیقات قبلی انجام شده توسط دوستا و همکاران در سال ۲۰۰۶ و به منظور استفاده در فرایند جریان جانبی، مورد بررسی قرار گرفت [۱۹]. علاوه بر این و با توجه به لزوم استفاده از روش‌های کاربردی در تصفیه فاضلابها، علاوه بر استفاده از سه زیرسیکل فرعی پیشنهادی توسط دوستا و همکاران، از یک زیرسیکل نیز به عنوان مقایسه با سه زیرسیکل استفاده شد. نسبت سیکل‌های فرعی هوایی بهینه برای اکسیژن با توجه به رشد سریع تر دنیتریفای‌ها نسبت به نیتریفای‌ها باشد که از این مقدار استفاده گردید [۱۹]. تعداد آزمایش‌های انجام شده پس از شرایط پایدار که در حدود ۵ هفته به طول انجامید برای هر یک از شاخصهای آمونیاک، نیتریت و نیترات بالغ بر ۴۸ مورد با احتساب سه بار تکرار بود. این آزمایش‌ها برای یک زیرسیکل بالغ بر ۲۷ مورد با احتساب سه بار تکرار بود.

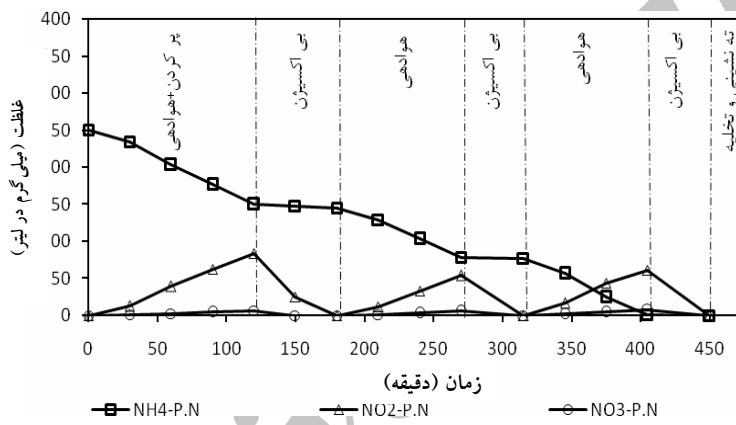
پس از انجام موفق نیتریفیکاسیون جزئی همراه با دنیتریفیکاسیون، فقط با افزایش اکسیژن محلول به حد بهینه

¹ Mann-Whitney Test

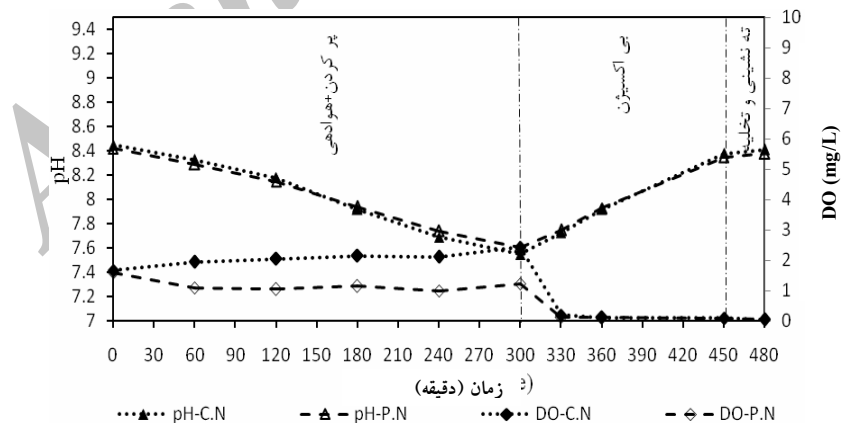
² Dosta et al.



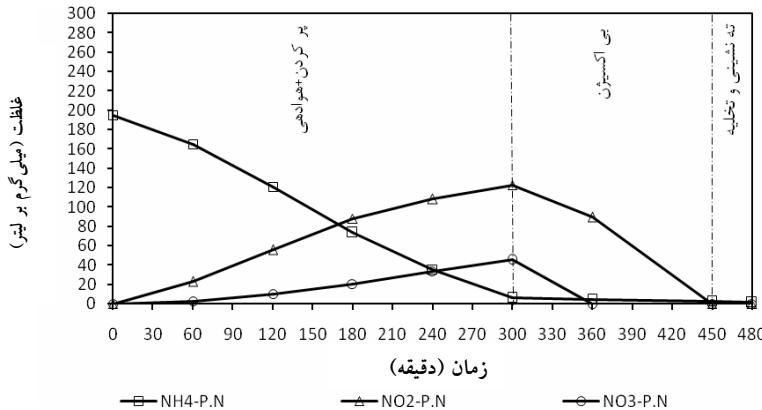
شکل ۳- تغییرات DO و pH در یک سیکل معمول نیتریفیکاسیون جزئی و کامل و با سه زیرسیکل فرعی



شکل ۴- تغییرات آمونیاک، نیتریت و نیترات در یک سیکل معمول نیتریفیکاسیون جزئی و با سه زیرسیکل فرعی



شکل ۵- تغییرات DO و pH در یک سیکل معمول نیتریفیکاسیون جزئی و کامل و با یک زیرسیکل فرعی



شکل ۶- تغییرات آمونیاک، نیتریت و نیترات در یک سیکل معمول نیتریفیکاسیون جزئی و با یک زیرسیکل فرعی

جدول ۳- نرخهای اکسیداسیون حاصل از راه اندازی راکتور در حالتهای مختلف

نیتریفیکاسیون کامل	نیتریفیکاسیون جزئی	واحد	شاخص		
یک زیرسیکل	سه زیرسیکل	یک زیرسیکل	سه زیرسیکل	(Hr)	(HRT)
۱/۳۶	۱/۰۵	۱/۵۵	۱/۲		
۱۴/۱۵±۳/۷۲	۱۸/۷۹±۴/۰۷	۱۲/۵۸±۲/۷۳	۱۶/۲۴±۳/۷	$\frac{\text{mg NH}_4^+ - \text{N}}{\text{gVSS.hr}}$	SAOR
۹/۵۱±۲/۲	۸/۹۴±۲/۵۸	۳/۰۴±۱/۳۶	۱/۳۴±۰/۳۷	$\frac{\text{mg NO}_3^- - \text{N}}{\text{gVSS.hr}}$	SNOR
۲۹/۷۷±۵/۱	۵۱/۱±۶/۲	۸۰/۷±۶/۵	۹۱/۱±۱/۸	%	NO_2^-
$1/5 \times 10^{-5}$	$2/1 \times 10^{-5}$	$1/5 \times 10^{-5}$	$2/1 \times 10^{-5}$	Cell/ml	MPN

موضوع عامل افزایش نرخ ویژه اکسیداسیون آمونیاک بوده است. نتایج آنالیز آماری نشان داد که در مقایسه دو حالت اخیر P-Value نزدیک صفر بوده و لذا فرض برابری میانگین ها در سطح اطمینان ۹۵ درصد رد می شود و بنا بر این اختلاف بین دو حالت موردنظر معنی دار بوده و حالت سه زیرسیکلی در حذف آمونیاک بهتر از یک زیرسیکلی عمل نموده است. این درحالی است که این مقادیر در طول یک سیکل کامل متغیر بوده اند که به نظر می رسد با توجه به ثابت بودن DO و دما در طول یک سیکل، این تغییرات در اثر تغییر در pH، تغییر در آمونیاک آزاد و نیز تغییر در غلظت کل آمونیاک باشد.

بررسی بیشتر و استفاده از نتایج شکلهای ۴ و ۶ برای محاسبه متوسط نرخ اکسیداسیون نیتریت نشان داد که این شاخص، به ترتیب برای سه و یک زیرسیکل فرعی معادل $1/۳۴$ و $۳/۰۴$ بحسب mg/gVSS بوده که نشان دهنده افزایش این نرخ با کاهش تعداد سیکل ها است که احتمالاً دلیل آن کاهش بیشتر pH همزنمان با کاهش غلظت آمونیاک و در نتیجه کاهش میزان آمونیاک غیریونی به عنوان عامل بازدارنده اکسایندگان نیتریت بوده است. این موضوع با تحقیقات پامبرن و همکاران نیز مطابقت می کند [۸]. آنها

مواد آنی بر روی نرخ ویژه نیتریفیکاسیون نشان دادند که در COD های بالا، نرخ ویژه اکسیداسیون آمونیاک کاهش خواهد یافت و لذا میزان ماده آنی نیز می تواند این نرخ تحت تأثیر قرار دهد [۲۹].

نتایج حالت یک زیرسیکلی که به منظور مقایسه انجام پذیرفت نشان داد که متوسط نرخ اکسیداسیون آمونیاک بر حسب mg/gVSS کاهش یافته و به حدود $12/۵۸$ رسیده که نسبت به حالت سه زیرسیکلی در حدود 23 درصد کاهش نشان می دهد و لذا می توان گفت که افزایش تعداد زیرسیکل های فرعی می تواند بر افزایش نرخ اکسیداسیون آمونیاک مؤثر باشد. این موضوع می تواند به دلیل تنظیم بیشتر pH در زیرسیکل های بیشتر به دلیل تولید قیلائیت باشد که با تحقیقات پامبرن و همکاران^۱ مطابقت می کند [۸]. آنها نشان دادند که افزایش pH از $7/5$ به $8/5$ علاوه بر کمک به تجمع نیتریت باعث افزایش نرخ نیتریفیکاسیون تا حدود پنجاه درصد نیز خواهد شد. چنانچه از شکلهای ۳ و ۵ مشخص است، تغییرات pH در حالت سه زیرسیکلی محدودتر شده و به حد بهینه اکسایندگان آمونیاک یعنی $7/9$ تا $8/2$ نزدیک تر گشته و این

^۱ Pambrun et al.

توجه داشت که افزایش بیش از حد این زیرسیکل‌ها از کاربردی کردن آنها نیز خواهد کاست. مقایسه آماری شاخص نرخ اکسیداسیون نیتریت و نیز درصد تجمع نیتریت، نشان داد که در این حالتها نیز P-Value نزدیک صفر بوده و لذا فرضیه برابری میانگین‌ها در سطح اطمینان ۹۵ درصد رد می‌شود و بنابراین اختلاف بین دو حالت مورد نظر معنی‌دار بوده و حالت یک زیرسیکلی در اکسیداسیون نیتریت بهتر از سه زیرسیکلی عمل نموده است و لذا افزایش تعداد زیرسیکل‌های فرعی باعث کاهش نرخ اکسیداسیون نیتریت، افزایش تجمع آن و بهبود نیتریفیکاسیون جزئی شده است.

۳-۲- نیتریفیکاسیون کامل

نتایج این حالت برای تغییرات DO و pH در شکل‌های ۳ و ۵ به ترتیب برای سه و یک زیرسیکل فرعی و بهمین ترتیب برای تغییرات آمونیاک، نیتریت و نیترات در شکل‌های ۷ و ۸ ارائه شده است. زمان ماند مورد نظر در این حالت و به ترتیب برای سه و یک زیرسیکل فرعی معادل ۱/۰۵ و ۱/۳۶ روز تعیین و استفاده شد که برای مقایسه با دیگر حالتها در جدول ۳ نیز ارائه شده‌اند.

پس از انجام موفق نیتریفیکاسیون کامل با توجه به افزایش غلظت اکسیژن محلول به بیش از ۲ میلی‌گرم در لیتر، متوسط نرخ ویژه اکسیداسیون آمونیاک برای سه و یک زیرسیکل فرعی بر حسب mg/gVSS به ترتیب معادل ۱۸/۸ و ۱۴/۱۵ تعیین شد. مقایسه این دو عدد نشان داد که حالت سه زیرسیکلی نسبت به دو زیرسیکلی در حدود ۳۲ درصد در حذف آمونیاک بهتر عمل نموده است. مقایسه آماری نرخ ویژه اکسیداسیون آمونیاک در این حالت نشان داد که P-Value تقریباً صفر است و لذا فرض برابری میانگین‌ها در سطح اطمینان ۹۵ درصد رد می‌شود و بنابراین اختلاف بین دو حالت موردنظر معنی‌دار بوده و حالت یک سه زیرسیکلی در اکسیداسیون آمونیاک بهتر از یک زیرسیکلی عمل نموده است. همچنین مقایسه آماری نرخ ویژه اکسیداسیون نیتریت و نیز درصد تجمع نیتریت در نیتریفیکاسیون کامل برای سه و یک زیرسیکل نیز نشان داد که به ترتیب P-Value در اکسیداسیون نیتریت و تجمع نیتریت بیشتر و کمتر از ۵ درصد بوده است. این موضوع نشان داد که حالت سه زیرسیکلی در تجمع نیتریت بهتر از یک زیرسیکلی عمل نموده است.

۳-۳- مقایسه نیتریفیکاسیون کامل و جزئی

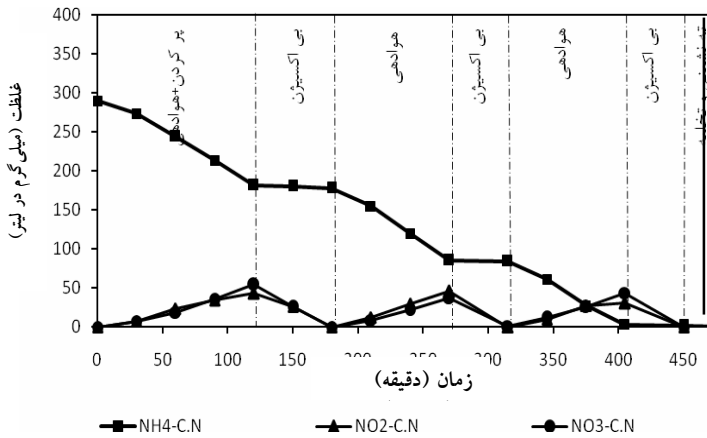
از آنجایی که انجام نیتریفیکاسیون کامل برای مقایسه با نیتریفیکاسیون جزئی انجام پذیرفت، مقایسه این دو حالت در زیرسیکل‌های مشابه نیز مد نظر قرار گرفت.

دریافتند که افزایش pH از ۷/۵ به ۸/۵ باعث افزایش تجمع نیتریت و کاهش اکسیداسیون نیتریت خواهد شد و بر عکس کاهش آن نتیجه عکس دارد. همچنین بر اساس تحقیقات مختلفی که به بررسی اثر pH پرداخته‌اند مشخص گردید که کاهش pH نقش مهمی در کاهش آمونیاک آزاد و افزایش فعالیت اکسایندگان نیتریت دارد [۱۵ و ۱۸].

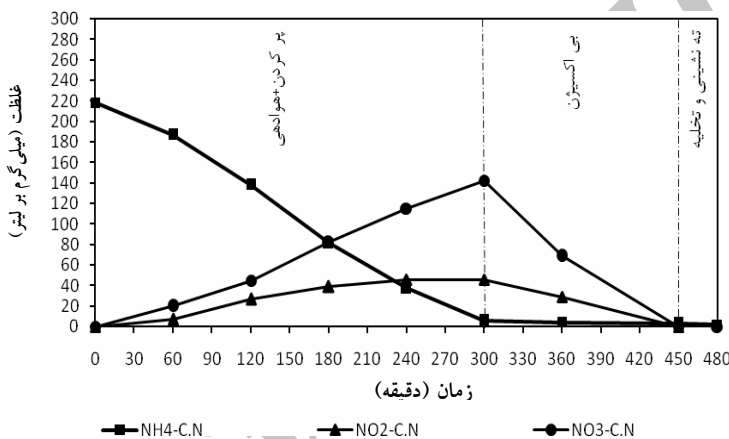
محاسبه مقدار آمونیاک آزاد با توجه به تغییرات pH و بر اساس رابطه ۸ نشان داد که این مقدار در ابتدای هر سیکل و برای سه و یک زیرسیکل فرعی به ترتیب حدود ۴/۳۴ و ۹/۴۰ میلی‌گرم در لیتر بر حسب نیتروژن بوده که البته در محدوده مناسب ارائه شده توسط آنتونیزن نیز قرار داشته است [۱۸ و ۵/۱]. این مقادیر با اکسیداسیون آمونیاک کاهش یافته تا در انتهای هر سیکل کامل به صفر رسید و همین موضوع باعث افزایش نیترات به موازات کاهش آمونیاک آزاد و به خصوص در پایان هر سیکل فرعی گردید (شکل‌های ۴ و ۶). تنظیم بیشتر pH در سه زیرسیکل که در شکل ۳ در قیاس با شکل ۵ نشان داده شده، می‌تواند باعث افزایش آمونیاک یونی در این حالت در قیاس با یک زیرسیکلی شده باشد و این موضوع باعث کاهش اکسیداسیون نیتریت در این حالت شده است. وی یون و همکاران^۱ در تحقیقات دریافتند که عدم وجود آمونیاک در محیط باعث افزایش نرخ ویژه اکسیداسیون نیتریت از ۹/۲ تا ۱۲ برابر حداکثر نرخ ویژه اکسیداسیون آمونیاک در یک دمای ثابت خواهد شد. آنها هم چنین دریافتند که وجود غلظت کافی آمونیاک باعث کاهش شدید اکسیداسیون نیتریت شده و حداکثر نرخ ویژه آن را تا محدوده ۹/۱۶ درصد حداکثر نرخ ویژه اکسیداسیون آمونیاک متوقف می‌کند [۳۰].

همچنین بررسی میزان نیتریت و نیترات در شکل‌های ۴ و ۶ و محاسبه درصد تجمع نیتریت با استفاده از این مقادیر و بر اساس رابطه ۸ نشان می‌دهد که متوسط درصد تجمع نیتریت در حالت یک زیرسیکلی، کاهشی در حدود ۱۲ درصد نسبت به حالت دیگر دارد که این موضوع با توجه به ثابت بودن دیگر عوامل به pH و نیز کاهش مقدار آمونیاک ارتباط دارد که با تحقیقات پامبرن و همکاران نیز مطابقت دارد [۸]. بر همین اساس افزایش تعداد زیرسیکل‌های فرعی می‌تواند با ثبت بسته pH در ارتباط با دنیتریفیکاسیون، علاوه بر افزایش سرعت اکسیداسیون آمونیاک باعث کاهش اکسیداسیون نیتریت و تجمع بیشتر آن گردد. افزایش زیرسیکل‌های فرعی به منظور دنیتریفیکاسیون همزمان، می‌تواند با تولید قلیائیت، باعث تعدیل و افزایش pH و در نتیجه افزایش آمونیاک آزاد با وجود کاهش مقدار کل آمونیاک گردد ولی باید

^۱ Weon et al.



شکل ۷- تغییرات آمونیاک، نیتریت و نیтрат در یک سیکل معمول نیتریفیکاسیون کامل و با سه زیرسیکل فرعی



شکل ۸- تغییرات آمونیاک، نیتریت و نیтрат در یک سیکل معمول نیتریفیکاسیون کامل و با یک زیرسیکل فرعی

لیتر باعث افزایش نرخ ویژه اکسیداسیون آمونیاک تا ۶۰ درصد خواهد شد و افزایش بیشتر اکسیژن محلول تأثیر چندانی بر روی نرخ مورد نظر نداشته است [۹].

مقایسه آماری نرخ اکسیداسیون آمونیاک برای نیتریفیکاسیون کامل و جزئی در حالت سه زیرسیکلی نشان داد که مقدار P-Value ۱/۵ درصد است و لذا فرض برابری میانگین‌ها در سطح اطمینان ۹۵ درصد رد می‌شود و بنابراین اختلاف بین دو حالت مورد نظر معنی دار بوده و نیتریفیکاسیون کامل در اکسیداسیون آمونیاک بهتر از نیتریفیکاسیون جزئی عمل نموده است. این مقایسه برای حالت یک زیرسیکلی نشان داد که P-Value ۷/۸ درصد است و لذا در این حالت فرض برابری میانگین‌ها در سطح اطمینان ۹۵ درصد رد نمی‌شود و بنابراین اختلاف بین دو حالت نیتریفیکاسیون جزئی و کامل در یک زیرسیکلی برای اکسیداسیون آمونیاک معنی دار نیست.

بررسی‌های مقایسه‌ای بر روی نتایج نیتریفیکاسیون کامل و جزئی در زیرسیکل‌های مشابه نشان داد که با افزایش اکسیژن محلول، نرخ اکسیداسیون آمونیاک و نیتریت نسبت به حالتهای مشابه در نیتریفیکاسیون جزئی، افزایش یافته و بهمین دلیل نیز زمان ماند هیدرولیکی نسبت به آن حالتهای کاهش یافته و باعث افزایش نرخ بارگذاری حجمی برای سه و یک زیرسیکل به ترتیب معادل ۰/۸۶ و ۰/۶۶ کیلوگرم نیتروژن بر مترمکعب در شبانه روز در قیاس با سه و یک زیرسیکل نیتریفیکاسیون جزئی معادل ۰/۷۵ و ۰/۵۸ کیلوگرم نیتروژن بر مترمکعب در شبانه روز شد. افزایش نرخ متوسط اکسیداسیون آمونیاک در نیتریفیکاسیون کامل برای سه و یک زیرسیکل فرعی نسبت به حالات مشابه در نیتریفیکاسیون جزئی به ترتیب حدود ۱۶ و ۱۳ درصد بود. جی یو و همکاران^۱ نشان دادند که افزایش اکسیژن محلول از ۵/۰ به ۲ میلی‌گرم در

^۱ Guo et al.

تنظیم بیشتر pH در خالل نیتریفیکاسیون، تأثیر قابل ملاحظه‌ای بر افزایش نرخ اکسیداسیون آمونیاک از یک طرف و افزایش نرخ تجمع نیتریت از طرف دیگر دارد.

افزایش اکسیژن محلول به منظور ایجاد شرایط مناسب برای نیتریفیکاسیون کامل، باعث افزایش نرخ اکسیداسیون آمونیاک در حدود ۱۳ تا ۱۶ درصد نسبت به نیتریفیکاسیون جزئی شد و این در حالی است که نرخ تجمع نیتریت در این حالت بسته به تعداد زیرسیکل‌های فرعی، کاهش چشمگیری داشت و بخش قابل توجهی از آن به نیترات تبدیل شد. متوسط درصد تجمع نیتریت در تمام حالتها به دلیل دمای بالا به عنوان یکی از عوامل مؤثر بر آن، اتفاق افتاده و حداقل آن در نیتریفیکاسیون کامل با یک زیرسیکل فرعی معادل حدود ۳۰ درصد و حداقل آن در نیتریفیکاسیون جزئی با سه زیرسیکل معادل ۹۱ درصد بود.

نتایج مقایسه‌ای بیشترین نیتریفیکاسیون کامل و جزئی نشان داد که اکسیداسیون نیتریت در نیتریفیکاسیون کامل به مراتب افزایش یافته و از مقادیر متوسط $1/24$ و $3/04$ به ترتیب برای سه و یک زیرسیکل در نیتریفیکاسیون جزئی به $8/94$ و $9/51$ بر حسب gVSS/mg در قرار دارد. آنها دریافتند که افزایش اکسیژن محلول بر اکسیداسیون بیشتر نیتریت در تطابق با یافته‌های جی یو و همکاران قرار دارد. آنها دریافتند که افزایش اکسیژن محلول از $0/5$ به 2 میلی‌گرم در لیتر و البته در pH ثابت $1/3\pm 0/1$ باعث افزایش 45 درصدی اکسیداسیون نیتریت می‌شود [۹]. همچنین پامبرن و همکاران نشان دادند که کاهش pH از $8/5$ به $7/5$ باعث اکسیداسیون بیشتر نیتریت خواهد شد [۸]. لذا افزایش اکسیژن محلول و کاهش pH به صورت توأم، باعث افزایش نرخ ویژه اکسیداسیون نیتریت شده است. مقایسه آماری ساختار نرخ اکسیداسیون نیتریت و نیز درصد تجمع نیتریت برای سه زیرسیکل در نیتریفیکاسیون کامل و جزئی نشان داد که در این حالت P-Value نزدیک صفر بوده و لذا فرض برابری میانگین‌ها در سطح اطمینان 95 درصد رد می‌شود و بنابراین اختلاف بین دو حالت مورد نظر معنی دار بوده و اکسیداسیون نیتریت و درصد تجمع آن در نیتریفیکاسیون جزئی نسبت به کامل به ترتیب کمتر و بیشتر بوده است. مقایسه P-Value برای یک زیرسیکل نیز به همین نتایج منجر گشت و در این حالت نیز اکسیداسیون نیتریت و درصد تجمع آن در نیتریفیکاسیون جزئی نسبت به کامل به ترتیب کمتر و بیشتر بوده است.

علی‌رغم پاپشاری بسیاری از مقالات بر اقتضای بودن روش نیتریفیکاسیون جزئی در قیاس با کامل به لحاظ صرفه‌جویی در نیاز به اکسیژن محلول تا 25 درصد و منبع کربن خارجی تا 40 درصد، افزایش نرخ اکسیداسیون آمونیاک در نیتریفیکاسیون کامل در قیاس با نیتریفیکاسیون جزئی (در این تحقیق در حدود 13 تا 16 درصد) و نیز عدم تبدیل همه نیتریت به نیترات در آن با توجه به تعداد زیرسیکل‌های فرعی، ممکن است باعث اقتصادی‌تر شدن آن به لحاظ نیاز به حجم کمتر و زمان ماند کمتر شود. این موضوع نیاز به بررسی بیشتر دارد و می‌تواند مبنای مطالعات بعدی قرار گیرد.

۵- قدردانی

به این وسیله از همکاری صمیمانه مسئولان محترم شرکت آب و فاضلاب شهری استان اصفهان و دفتر تحقیقات آن شرکت و مسئولان تصفیه خانه فاضلاب شاهین شهر کمال تشرک را دارد. این تحقیق در راستای قرارداد حمایت از پایان نامه دانشجویی به شماره $۸۸/۲/۱۲$ و $۳۲۲۵/۸۸$ مورخ آن شرکت انجام شده است.

بررسی بیشتر نشان داد که اکسیداسیون نیتریت در نیتریفیکاسیون کامل به مراتب افزایش یافته و از مقادیر متوسط $1/34$ و $3/04$ به ترتیب برای سه و یک زیرسیکل در نیتریفیکاسیون جزئی به $8/94$ و $9/51$ بر حسب mg/gVSS در نیتریفیکاسیون کامل در قیاس با نیتریفیکاسیون جزئی است. این موضوع از تأثیر اکسیژن محلول بر اکسیداسیون بیشتر نیتریت در تطابق با یافته‌های جی یو و همکاران قرار دارد. آنها دریافتند که افزایش اکسیژن محلول از $0/5$ به 2 میلی‌گرم در لیتر و البته در pH ثابت $1/3\pm 0/1$ باعث افزایش 45 درصدی اکسیداسیون نیتریت می‌شود [۹]. همچنین پامبرن و همکاران نشان دادند که کاهش pH از $8/5$ به $7/5$ باعث اکسیداسیون بیشتر نیتریت خواهد شد [۸]. لذا افزایش اکسیژن محلول و کاهش pH به صورت توأم، باعث افزایش نرخ ویژه اکسیداسیون نیتریت شده است. مقایسه آماری ساختار نرخ اکسیداسیون نیتریت و نیز درصد تجمع نیتریت برای سه زیرسیکل در نیتریفیکاسیون کامل و جزئی نشان داد که در این حالت P-Value نزدیک صفر بوده و لذا فرض برابری میانگین‌ها در سطح اطمینان 95 درصد رد می‌شود و بنابراین اختلاف بین دو حالت مورد نظر معنی دار بوده و اکسیداسیون نیتریت و درصد تجمع آن در نیتریفیکاسیون جزئی نسبت به کامل به ترتیب کمتر و بیشتر بوده است. مقایسه P-Value برای یک زیرسیکل نیز به همین نتایج منجر گشت و در این حالت نیز اکسیداسیون نیتریت و درصد تجمع آن در نیتریفیکاسیون جزئی نسبت به کامل به ترتیب کمتر و بیشتر بوده است.

از مقایسه نرخهای اکسیداسیون و تجمع در هر حالت و انجام موازنۀ جرم مشخص می‌گردد که بین 10 تا 11 درصد از آمونیاک در بخش هوایی و حدود 13 تا 14 درصد از آن در طول هر سیکل ناپدید شده است. بر اساس نتایج تحقیقات مختلف مشخص گردیده که حدود 7 تا 8 درصد از آمونیاک برای رشد سلولی مصرف می‌شود و ناپدید شدن بقیه آن می‌تواند به دلیل شامل خروج بخشی از آن به صورت گاز آمونیاک و نیز خطای آزمایش‌ها باشد [۱۹].

۴- نتیجه‌گیری

از انجام این تحقیق مشخص گردید که از نیتریفیکاسیون جزئی و کامل با زیرسیکل‌های مختلف به نحو مؤثری می‌توان برای تبدیل آمونیاک در فاضلابهای با غلظت بالا به عنوان فرایندهای جریان جانبی استفاده نمود و افزایش تعداد زیرسیکل‌های فرعی به منظور

۶- مراجع

- 1- Tchobanoglous, G., Franklin, L., Butron, H., and David Stensel, H. (2003). *Wastewater engineering: Treatment and reuse*, Metcalf and Eddy, Inc., McGraw-Hill, New York.
- 2- Chan, T. Y. (2003). "Ammonia removal in wastewater with anaerobic ammonium oxidation process." M.Sc. Thesis, Concordia University, Canada.
- 3- EPA. (1993). *Process design manual for nitrogen control*, US EPA, Washington, D.C.
- 4- Teichgraber, B., and Stein, A. (1994). "Nitrogen elimination from sludge treatment reject water comparison of the steam stripping and denitrification processes." *Water Sci. Technol.*, 30, 41-51.
- 5- Peng, Y., and Zhu, G. (2006). "Biological nitrogen removal with nitrification and denitrification via nitrite pathway." *Appl. Microbiol Biotechnol.*, 73 (1), 15-26.
- 6- Paredes, D., Kuschk, P., Mbvette, T. S. A., Stange, F., Müller, R. A., and Köser, H. (2007). "New aspects of microbial nitrogen transformations in the context of wastewater treatment - A review." *Eng. Life Sci.*, 7, 13-25.
- 7- Hiatt, W. C. (2006). "Activated sludge modeling for elevated nitrogen conditions." Ph.D. Thesis, Clemson University, United States.
- 8- Pambrun, V., Paul, E., and Sp'erandio, M. (2008). "Control and modeling of partial nitrification of effluents with high ammonia concentrations in sequencing batch reactor." *Chemical Engineering and Processing*, 47, 323-329.
- 9- Guo, X., Kim, J. H., Behera, S. K., and Park, H. S. (2008). "Influence of dissolved oxygen concentration and aeration time on nitrite accumulation in partial nitrification process." *Int. J. of Environ. Sci. Tech.*, 5, 527-534.
- 10- Szatkowska, B. (2007). "Performance and control of biofilm systems with partial nitrification and anammox for supernatant treatment." Ph.D. Thesis, KTH University, Stockholm.
- 11- EPA.(2007). *Wastewater technology fact sheet: Side stream nutrient removal*, Office of Water, US EPA.
- 12- Kos, P. (1997). *Method and system for improved biological nitrification of wastewater at low temperature*, US patent No: 5811009.
- 13- Kos, P. (1998). "Short SRT (solids retention time) nitrification process/flowsheet." *Water Science and Technology*, 38, 23-29.
- 14- Bailey, J., Walter, F., Murthy, S. N., Benson, L., Constantine, T., Daigger, G. T., Sadick, T. E., and Katehis, D. (2008). *Method for nitrogen removal and treatment of digester reject water in wastewater using bioaugmentation*, US patent No: 7404897B2.
- 15- Sinha, B., and Annachhatre, A. P. (2007). "Partial nitrification-operational parameters and microorganisms involved." *Rev. Environ. Sci Biotechnol*, 6, 285-313.
- 16- So-Hyun, J., Dong-Jin, K., Ik-Keun, Y., Kyungmoon, P., and Gi-Cheol, C. (2000). "Partial nitrification in an upflow biological aerated filter by O₂ limitation." *Biotechnology Letters*, 22, 937-940.
- 17- Ciudad, G., Rubilar, O., Mun'oz, P., Ruiz, G., Chamy, R., Vergara, C., and Jeison, D. (2005). "Partial nitrification of high ammonia concentration wastewater as a part of a shortcut biological nitrogen removal process." *Process Biochemistry*, 40, 1715-1719.
- 18- Ciudad, G., Gonza'lez, R., Bornhardt, C., and Antileo, C. (2007). "Modes of operation and pH control as enhancement factors for partial nitrification with oxygen transport limitation." *Water Research*, 41, 4621-4629.
- 19- Dosta, J., Galí', A., Benabdallah El-Hadj, T., Mace', S., and Mata-A'lvez, J. (2007). "Operation and model description of a sequencing batch reactor treating reject water for biological nitrogen removal via nitrite." *Bioresource Technology*, 98, 2065-2075.

- 20- Gali, A., Dosta, J., and Mata-Alvarez, J. (2007). "Optimisation of nitrification-denitrification Process in a SBR for the treatment of reject water via nitrite." *Environmental Technology*, 28, 565 - 571.
- 21- Yoo, H., Ahn, K. H., Lee, H. J., Lee, K. H., Kwak, Y. J., and Song, K. G. (1999). "Nitrogen removal from synthetic wastewater by simultaneous nitrification and denitrification (SND) via nitrite in an intermittently aerated reactor." *Wat. Res.*, 33, 145-154.
- 22- Sinha, B., and Annachhatre, A. P. (2007). "Assessment of partial nitrification reactor performance through microbial population shift using quinone profile, FISH and SEM." *Bioresource Technology*, 98, 3602-3610.
- 23- APHA. (2005). *Standard methods for the examination of water and wastewater*, 21st Ed., American Public Health Association, Washington, D.C.
- 24- HACH. (2008). *Water analysis handbook*, Loveland Co., United State.
- 25- Ghanavati, H., and Emtiazi, G. (2007). "Inhibitory effect of phenol on ammonia removal by nitrification of high ammonia and phenol contaminated coke wastewater from Isfahan steel company (ISCO)." *J. of Water and Wastewater*, 61, 43-52. (In Persian)
- 26- Van de graaf, A. A. (1997). "Biological anaerobic ammonium oxidation." Ph.D. Thesis, Delft University Press, The Netherlands.
- 27- Morling, S. (2009). "SBR-Technology-use and potential applications for treatment of cold wastewater." Ph.D. Thesis, KTH University, Stockholm.
- 28- Head, M. A., and Oleszkiewicz, J. A. (2005). "Bioaugmentation with Nitrifying bacteria acclimated to different temperatures." *J. of Environmental Engineering*, 131, 1046-1051.
- 29- Bina, B., Movahedian, H., and Pourzamani, H.R. (2005). "Effect of influent COD/N ratio on nitrification rate in a bench-scale biological reactor." *J. of Water and Wastewater*, 53, 30-37. (In Persian)
- 30- Weon, S. Y., Lee, S. I., and Koopman, B. (2004). "Effect of temperature and dissolved oxygen on biological nitrification at high ammonia concentrations." *Environ. Technol.*, 25, 1211-1219.